

82300 基本館藏



苏联 B·C·費多洛夫 M·M·尼卡諾洛夫著

鑽具提昇理論基礎



石油工業出版社

2
3.1

內 容 提 要

本書敘述鑽具提昇理論的基本原理，說明在鑽進中各種不同因素對提昇鑽具時間的影響，並提出如何合理地選擇提昇裝置和合理地使用現代化設備。

本書專供鑽井工程師，技術員，設計工程師，科學研究工作人員和高等學校師生參考。

В. С. ФЕДОРОВ И М. М. НИКАНОРОВ
ТЕОРЕТИЧЕСКИЕ ОСНОВЫ ПОДЪЕМА
БУРОВОГО ИНСТРУМЕНТА

根据苏联國立石油燃料科技書籍出版社(ГОСТОРГТЕХИЗДАТ)
1952年列寧格勒版翻譯

統一書號：15037·26

鑽具提昇理論基礎

黃俊謙

*

石油工業出版社出版(地址：北京六鋪炕石油工業局十号樓)

北京市書局出版總處許可證出字第083号

北京市印刷一廠排印 新華書店發行

*

787×1092毫米開本 * 印張6 1/4 * 126千字 * 印1—4,100冊

1956年7月北京第1版第1次印刷

定价(10)1元

序　　言

如同大家所知道的，任何鑽井裝置的提昇部分都是由井架、發动机、絞車、滑車系統以及为了加速工作和減輕工人劳动所必需的很多工具和設備組成的。

鑽井裝置提昇部分的各种机件，在某种程度上已經在一些参考書籍中叙述过，而自动化和繁重工作机械化的設備則在很多書中叙述得更为詳細。

本書中講述鑽具提昇理論的基本原理，各种因素对提昇時間的影响，並將提昇裝置看作为統一的複雜的系統，其中各种机件是互相牽制着的；从而指出提昇裝置設計的方法。

我們認為：从基本理論觀点來闡明提昇裝置是唯一正確的方法。

由於本書篇幅限制，我們不能以很多的計算例題來說明，使理論应用於实践。

我們尽量減少了關於起下鑽工作中“小型机械化”的叙述，但是这並不是过低地估計了“小型机械化”的作用。因为鑽井“小型机械化”方面的著作几乎每年都出版，所以我們認為有关這方面的問題已經有了詳尽的介紹。

我們知道，關於提昇鑽具的綜合性的著作还是第一次出版，所以不免有些錯誤。我們希望讀者提出批評，借此能完善地充实这个問題的內容。

著者

目 錄

第一章 起下鑽操作的時間	5
起下鑽具所消耗的機動時間	5
起下鑽具所消耗的手動和機手並動時間	10
接單根所消耗的時間	12
換鑽頭所消耗的時間	13
第二章 最廣泛使用的鑽井提昇裝置原則性方案	14
電力傳動的提昇裝置	14
內燃機傳動的提昇裝置	18
用蒸汽機帶動的鑽井裝置	24
第三章 提昇運動學	24
提昇運動學的一般資料	24
選擇速度圖表	31
滑車機構的運動學	36
第四章 提昇動力學	40
提昇裝置基本的動力學公式	40
確定綜合的傳動慣性力矩和迴轉力矩	47
第五章 提昇裝置各部件負荷的確定	54
絞車滾筒軸上的負荷	54
復式滑車鋼絲繩兩端的負荷	55
天車的負荷	58
井架的負荷	59
第六章 影響機動時間的因素	59
立根長度對機動時間的影響	60
鑽井提昇裝置的速度數對機動時間的影響	62

提昇裝置各速度之間的關係對機動時間的影響	71
第七章 影響手動和機手並動時間的因素	78
立根長度和重量對手動和機手並動時間的影響	77
手動和機手並動操作的組織和機械化對其時間的影響	79
第八章 先進鑽井隊完成起下鑽操作定額的經驗	88
第九章 鑽井提昇裝置基本參數的選擇	92
井架高度的選擇	92
絞車速度的選擇	100
選擇滑車系統裝置型式	110
提昇裝置發动机功率	121
提昇發动机負荷比	127
自動化和機械化是提昇裝置不可缺少的部分	135
第十章 解決鑽井提昇某些問題的理論	138
起下鑽操作中實際所耗機動時間的計算方法	138
用計算方法確定鑽井提昇裝置主要參數的实例	158
現代的固定式鑽井絞車的分析	175
參考文獻	197

概論

鑽井提昇裝置的完善程度可以用下列二個數值表示：

1. 鑽具和空吊卡提昇的平均速度

$$v_{cp} = \frac{v_1 T_{M,n(1)} + v_2 T_{M,n(2)} + \cdots + v_{k_x} (T_{M,n(k_x)} + T_{M,c})}{T_{M,n(1)} + T_{M,n(2)} + \cdots + T_{M,n(k_x)} + T_{M,c}}; \quad (1,0)$$

2. 起下鑽具時發動機負荷系數

$$\varphi = \frac{T_{o.M.n.c}}{T_{M,n.c}}, \quad (2,0)$$

式中 $T_{M,n(1)}, T_{M,n(2)}, \dots, T_{M,n(k_x)}$ ——與速度 v_1, v_2, \dots, v_{k_x} 相適應的提昇鑽具的機動時間；

$T_{M,c}$ ——下鑽時提昇空吊卡的機動時間；

$T_{o.M.n.c}$ ——當理想的利用提昇發動機馬力 P_H 時，提昇鑽具和空吊卡的機動時間；

$T_{M,n.c}$ ——當部分的利用提昇發動機馬力 $P < P_H$ 時，起下鑽具的實際機動時間。

隨著 v_{cp} 和 φ 的增加，時間 $T_{n.c}$ 減少。對於同一負荷量的各鑽井提昇裝置，可以用所謂綜合參數

$$\Phi_s = \varphi \frac{v_1}{v_{cp}}. \quad (3,0)$$

來表示其完善程度的特性。

時間 $T_{n.c}$ 的長短不僅取決於鑽井的技術，而且還取決於鑽井隊的成員的技術熟練程度、工作組織以及他們的積極的創造性。

为了順利地完成起下鑽工作，必須合理地利用技術，
实行自动化，使繁重工作机械化；为此目的，就要使用新
式的更完善的机械。

因此，在本書中要分析对起下鑽工作時間影响最大的
所有因素，这些因素不但取決於机器和機構的完善程度，
而且也取決於合理的工作組織和工人的技術熟練程度。

第一章 起下鑽操作的時間

建井過程中，起下鑽操作的時間可用下列通式表示：

$$T_{n.c} = T_{m.n.c} + T_{p.n.c} + T_H + T_d, \quad (1, I)$$

式中 $T_{m.n.c}$ ——一起下鑽具的機動時間；

$T_{p.n.c}$ ——一起下鑽具的手動和機手並動時間；

T_H ——接單根時間；

T_d ——換鑽頭時間。

上述各項包括了全部起下鑽工作。

現在我們進一步說明下列問題：(1) 那些因素影響上述起下鑽操作時間中的每一時間；(2) 上述起下鑽操作中的每一時間對影響總時間 $T_{n.c}$ 上所佔的比重。

起下鑽具所消耗的機動時間

由井內提昇鑽柱和把鑽柱下到井內的过程是由各個單獨的要素組成的，這些要素在起下每一立根時都以一定的順序嚴格地重複進行。

在這些要素中有兩個操作——即起鑽時提昇立根和下鑽時提昇空吊卡——時間可以單獨地計算，我們稱作計件機動時間。

應該指出，機動時間還消耗在完成起下立根工作的其他一些要素上，因此要把它們分為獨立的各個計算的操作則是不可能的。

所以这些要素的机动时间通常与手动工作时间合併成为一组，称之为手动和机手并动操作。

现在用下列公式表示时间 $T_{M.H.C}$:

$$T_{M.H.C} = \frac{L_1}{l} \cdot t_1 + \frac{l_2}{l} \cdot t_2 + \dots + \frac{L_m}{l} \cdot t_m, \quad (a)$$

式中 L_1, L_2, \dots, L_m ——每下鑽一次鑽进后的井深；

l ——立根長度；

t_1, t_2, \dots, t_m ——自井的相应深度 L_1, L_2, \dots, L_m 起下一根所需的平均机动时间。

为了使問題更具体，在說明影响 $T_{M.H.C}$ 值的各种因素时，先來研究在鑽井中可能遇到的几种情况。

建井时岩石抗碎强度保持不变，
多速鑽井提井装置

这种情况完全适合於第二巴庫的某些地区，那里油田的整个剖面的鑽头進尺可看作常数。即： $H_i = \text{常数}$ 。

如所週知，起鑽时根据井深增加的程度，逐渐使用慢速；即从井浅的时候，鑽具提昇速度为 k 速，而后为 $k-1$ 和 k 速，再后为 $k-2$, $k-1$ 和 k 速，依此类推。

在这种情况下，其正确的相互关系如下：

$$t_i = t_0 + \alpha L_i, \quad (2, I)$$

式中 t_i ——自井深 L_i 起下一立根的机动时间；

t_0 ——用快速起下一立根的机动时间；

α ——由於井深增加，提昇鑽具速度減慢的速度系数。

現在用鑽頭進尺的相應數值 $H, 2H, \dots, mH$ (m ——磨損的鑽頭數)代替公式(a)中的 L_1, L_2, \dots, L_m ; 用 $(t_0 + aL_1), (t_0 + aL_2), \dots, (t_0 + aL_m)$ 代替 t_1, t_2, \dots, t_m , 經必要的演算後, 即得

$$T_{M,n,c}^I = \frac{Ht_0}{l}(1+2+\dots+m) + \frac{aH^2}{l}(1^2+2^2+\dots+m^2)$$

或

$$T_{M,n,c}^I = \frac{Ht_0}{l} \cdot \frac{m(m+1)}{2} + \frac{aH^2}{l} \cdot \frac{m(m+1)(2m+1)}{6}$$

代入 $H = \frac{L}{m}$, 則得

$$T_{M,n,c}^I = \frac{L}{l} \left(\frac{m+1}{2} \right) t_0 + \frac{aL^2}{6l} \cdot \frac{(m+1)(2m+1)}{m} (3, I)$$

岩石抗碎強度隨井身加深而變化，多速

鑽井提升裝置

在這種場合下，鑽頭進尺將發生變化——隨井身加深而鑽頭進尺減低，這在高加索地區表現得特別顯著。

假設根據井身加深程度，鑽頭進尺按下列規律變化

$$H_i = \frac{H_0}{1 + \gamma_0 L_i}, \quad (4, I)$$

式中， H_i ——在某一井深 L_i 的鑽頭進尺；

H_0 ——相當於接近地表岩層的鑽頭進尺；

γ_0 ——由岩層物理-機械性質決定的系數。

在多速的提昇裝置時，如同上述，取

$$t_i = t_0 + aL_i.$$

在此情形下，起下鑽具的機動時間為：

$$T_{M,n,c}^H = \frac{t_0}{l} \sum_{i=1}^m L_i + \frac{a}{l} \sum_{i=1}^m L_i^2. \quad (6)$$

在上述條件下，利用下列方程式可求得建井所需的鑽頭數

$$m = \int_0^L \frac{1 + \gamma_0 L}{H_0} dL = \frac{L}{H_0} + \frac{\gamma_0 L^2}{2H_0},$$

即

$$L = \frac{1}{\gamma_0} \sqrt{1 + 2H_0 \gamma_0 m} - \frac{1}{\gamma_0}.$$

$L = f(m)$ 的圖示關係如圖 1 所示。利用近似的計算方法可求得

$$\sum_{i=1}^m L_i = \int_0^m f(m) dm + \frac{1}{2} L_m;$$

及

$$\sum_{i=1}^m L_i^2 = \frac{2H_0}{\gamma_0} \cdot \frac{m(m+1)}{2} - \frac{2}{\gamma_0} \sum_{i=1}^m L_i$$

經過必要的數學演算後，用磨損鑽頭數 m 所表示的

$T_{M.p.c}^H$ 之值可寫為

$$T_{M.p.c}^H = \left(\frac{t_0}{l} - \frac{2a}{ly_0} \right) \left[\left(\frac{1}{2} + \frac{2}{3}m + \frac{1}{3H\gamma_0} \right) \times \left(\frac{1}{\gamma_0} \sqrt{1+2H_0\gamma_0 m} - \frac{1}{\gamma_0} \right) - \frac{1}{3\gamma_0} m \right] + m(m+1) \frac{H_0 a}{ly_0}. \quad (5, I)$$

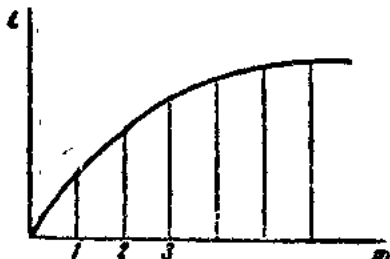


圖 1

这样，對於上述的鑽進情況，起下鑽機動時間的長短是取決於（1）井深；（2）起下鑽次數（磨損鑽頭數）；（3）提昇裝置的運動；和（4）立根長度。

起下鑽具所消耗的手動和機手並動時間

起下鑽一次，手動和機手並動時間的長短決定於鑽柱的立根數、卸開和上接每一立根操作時間的長短、放置立根到指標時間的長短以及其他各種因素，換言之，即決定於所謂手動和機手並動計件時間 $t_{p.n.c}$ 的長短。

顯然，在整個鑽井工作中，手動和機手並動時間的長短將由起下鑽次數，亦可以說由磨損的鑽頭數所決定。

這樣，為了說明影響手動和機手並動操作的時間，我們亦可以像確定機動時間時所研究過的鑽井條件一樣，來確定時間 $T_{p.n.c}$ 之值。

岩石抗碎强度随井身加深保持不变

类似条件(a)，时间 $T_{p,n,c}$ 的公式可写成

$$T_{p,n,c} = \frac{L_1}{l} t' + \frac{L_2}{l} t'' + \cdots + \frac{L_m}{l} t^{(m)}. \quad (a)$$

因为在这种情形下， $H=$ 常数，而 $t'=t''=\cdots=t^{(m)}$
 $=t_{p,n,c}$ ——手动和机手并动操作的计件时间，所以后者可表示为

$$t_{p,n,c} = t_c + b q_c, \quad (6, I)$$

式中 t_c ——上卸每一立根和吊卡“放下”的操作时间；

q_c ——每一立根的重量；

b ——常数系数。

因此，用钻头进尺数值 $H, 2H, \dots, mH$ 代替方程式(a)中的 L_1, L_2, \dots, L_m ，经必要的演算后得

$$T_{p,n,c}^I = \frac{H}{l} \cdot \frac{m(m+1)}{2} \cdot (t_c + b q_c)$$

或者代入 $H = \frac{L}{m}$ ，则得

$$T_{p,n,c}^I = \frac{L}{l} \cdot \frac{m+1}{2} \cdot (t_c + b q_c). \quad (7, I)$$

岩石抗碎强度随井身加深而变化

如同上述，设

$$H_i = \frac{H_0}{1 + \gamma_0 I_i}$$

为了求得手动和机手并动操作的总时间，利用公式(5, I)，并令公式中 $\alpha=0$ ，用 $t_{p,n,c}=t_c+bq_c$ 代替 t_0 。

則得

$$T_{p.n.c}^H = \frac{(t_c + bq_c)}{l} \left[\left(\frac{1}{2} + \frac{2}{3} m + \frac{1}{3H_0\gamma_0} \right) \times \left(\frac{1}{\gamma_0} \sqrt{1 + 2H_0\gamma_0 m} - \frac{1}{\gamma_0} \right) - \frac{m}{3\gamma_0} \right]. \quad (8, I)$$

由公式(7, I)和(8, I)中得知，手动和机手並动操作時間的長短决定於：(1)井深；(2)起下鑽的次数；(3)立根重量；(4)立根長度。

接單根所消耗的时间

鑽井时接單根是一种經常重复的过程，隨着井深不斷增加而到一定的井段时，就必須接單根。

鑽井时，接單根的时间为

$$T_H = \frac{L}{l_H} t_H, \quad (r)$$

式中 L ——井深；

t_H ——所接鑽桿的長度；

t_H ——接一單根的时间。

應該指出，由於 $t_H = t_{M.N.C} + t_{P.N.C}$ ；而 $t_{M.N.C} = t_0 + aL_i$ ；
 $t_{P.N.C} = t_c + bq_c$ ，代入即得

$$T_H = \frac{L}{l_H} [(t_0 + aL_i) + (t_c + bq_c)]. \quad (9, I)$$

由公式(9, I)中看出， T_H 数值决定於：(1)井深；
(2)所接鑽桿的長度；(3)每接一次單根的机动时间；(4)
每接一次單根的手动和机手並动时间。

換鑽頭所消耗的時間

鑽井時換鑽頭所需的时间用下式表示：

$$T_n = m \cdot t_n, \quad (10, I)$$

式中 t_n ——換一只鑽頭的計件時間。

如同上面所講的，鑽頭磨損的只數可按下列公式求得：

$$m = \frac{L}{H_0} + \frac{\gamma_0 L^2}{2 H_0}.$$

根據表 1 中所列三口井的測時數據，可以說明上述每一种時間因素對總的起下鑽時間的影響。

表 1

起下鑽總時間 %	手動和機手推動 操作的時間, %	機動操作時 間, %	接單根時間 %	換鑽頭時間 %
100	60	20	11	9
100	60	20	14	6
100	67	22	7.5	3.5

由上述數據中看出，所有時間因素中最主要的是時間 $T_{p.n.c}$ 和 $T_{M.p.c}$ 。

所以在以後的論述中，僅僅談到關於這些時間因素，而不涉及其他因素，因為其他因素在整個總時間中所佔的比重很小。

第二章 最廣泛使用的鑽井提昇 裝置原則性方案

現在，在苏联油礦場上所用的鑽井裝置可分為兩類：

(1)固定式的；(2)自行式的和活動式的。

第一類裝置是用來鑽鑿深探井和深生產井，而第二類是鑽鑿較淺的井。

鑽井裝置按照傳動類型則分為由電力傳動，內燃機傳動和蒸汽傳動。

在本書範圍內不敘述各種不同的鑽井裝置圖，因此，

欲對此問題進一步研究，請參考其他專門手冊和書籍。

本書僅僅是根據傳動裝置種類和傳動方案特點簡述鑽井裝置提昇部分的特性。

電力傳動的提昇裝置

從電力傳動裝置圖中(圖2)可以看到，這一種提昇裝置是用一部或二部電動機直接與減速器連接，而減速器通常只允許一種轉數的變化，其傳動比 $i_{n_0} = 1:3$ 。

減速器到綫車傳動軸的運動用鏈條傳動裝置實行。

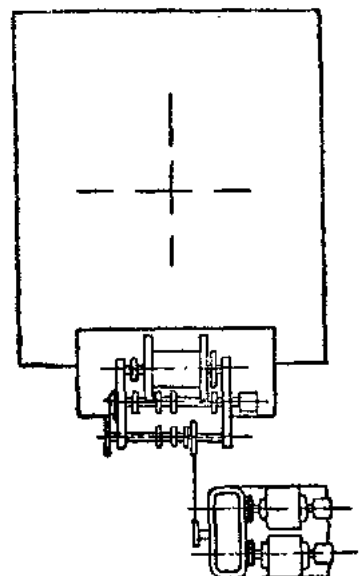


圖2

表 2

减速器		减速器副轴		车		钢丝绳快		大钩提升的平均速度 公尺/秒	
主动轴转速/分	被动轴转速/分	传动轴转速/分	传动比	螺头物转/分	牵引物转/分	提升速度 公尺/秒	滑车装置为5×6时	滑车装置为4×5时	滑车装置为5×6时
JIM2-2型 提昇裝置									
730	30:90	243	15:24	152.0	—	11:27 18:35	62.0 18.0	I II	1.36/1.25/0.17/0.118/0.156/0.095
730	30:90	243	17:19/17:27	216/153	1:12/11:0/84	10:36 16:17	33/23 56/40	II IV	2.51/1.62/0.29/0.20/0.232/0.162
J1-4M型 提昇裝置									
730	30:90	243	17:19/17:27	216/153	1:12/11:0/84	10:36 16:17	33/23 56/40	III IV	4.58/3.24/0.57/0.40/0.46/0.32
730	30:90	243	17:19/17:27	216/153	1:12/11:0/84	16:17 11:26/11:0/84	112/79 191/135	IV V	7.84/5.56/0.98/0.69/0.78/0.55
Y2-4-3型 提昇裝置									
730	30:90	243	17:19/17:27	216/153	11:24 11:16	99/70 148.5/105	36/35 54/38	I II III IV	1.76/1.26/0.22/0.15/0.176/0.12
730	30:90	243	17:19/17:27	216/153	11:24 20:15 20:17	99/70 289/767 —	36/35 15:56/15:73.6 254/180	I II III IV	0.64/1.8/0.53/0.23/0.26/0.18 0.635/0.44/0.50/0.35 12.6/8.64/1.57/1.08/1.26/0.864